

# Клеточная структура пространства разветвлённых накрытий двумерной сферы

Звонилов В.И., Оревков С.Ю.\*

15 ноября 2021 г.

## Аннотация

Для замкнутой ориентированной поверхности  $\Sigma$  пусть  $X_{\Sigma,n}$  – пространство классов изоморфности  $n$ -листных сохраняющих ориентацию разветвлённых накрытий  $\Sigma \rightarrow S^2$  двумерной сферы. Ранее авторами построена компактификация  $\bar{X}_{\Sigma,n}$  этого пространства, совпадающая с компактификацией Диаса-Эдидина-Натанзона-Тураева пространства Гурвица  $H(\Sigma,n) \subset X_{\Sigma,n}$ , состоящего из классов изоморфности накрытий с простыми критическими значениями. С помощью *dessins d'enfants* Гротендика строится клеточная структура этой компактификации. Полученные результаты применяются к пространству тригональных кривых на произвольной поверхности Хирцебруха.

## 1 Введение

Пусть  $\Sigma$  – замкнутая ориентированная поверхность (фиксированная во всей статье). Сохраняющие ориентацию  $n$ -листные разветвлённые накрытия  $f_1, f_2 : \Sigma \rightarrow S^2$  двумерной сферы называются *изоморфными*, если существует гомеоморфизм  $\alpha : \Sigma \rightarrow \Sigma$  с  $f_2 \circ \alpha = f_1$ . Пусть  $X_{\Sigma,n}$  – множество классов изоморфности таких накрытий. В статье [1] введена топология на этом множестве и построена компактификация  $\bar{X}_{\Sigma,n}$  полученного пространства, совпадающая с компактификацией Диаса-Эдидина-Натанзона-Тураева пространства Гурвица  $H(\Sigma,n) \subset X_{\Sigma,n}$ , состоящего

---

\*Работа первого автора выполнена по теме государственного задания (№ 0729-2020-0055).

из классов изоморфности накрытий с простыми критическими значениями. Точкой пространства  $\bar{X}_{\Sigma,n}$  является класс изоморфности вырождения  $f' : \Sigma' \rightarrow S^2$  (см. п. 2.2) разветвлённого накрытия  $f : \Sigma \rightarrow S^2$ , где  $\Sigma'$  - вырождение поверхности  $\Sigma$  (см. п. 2.1).

Основным результатом настоящей работы является введение клеточной структуры, т.е. структуры  $CW$ -комплекса, в  $\bar{X}_{\Sigma,n}$ , использующее понятие графа разветвлённого накрытия сферы. В построенном клеточном пространстве клетками являются классы изоморфности разветвлённых накрытий сферы, имеющих изоморфные графы. Для построения графа разветвлённого накрытия сферы мы следуем принципу, сформулированному в [2, принцип 1.6.1], согласно которому граф на накрывающей поверхности является прообразом базового графа на сфере, содержащего все критические значения накрытия. Выбор базового графа определяется дальнейшим применением клеточной структуры.

В работе [5] построено клеточное разбиение пространства  $\bar{X}_{\Sigma,n}$ , которое использовано авторами для вычисления гомологий пространства  $H(\Sigma, n)$ . То, что их разбиение является  $CW$ -комплексом, авторы не доказывают (см. [5, п. 4.4]). Однако, замена базового графа (см. ниже замечание 1) позволяет доказать, что это верно, таким же образом, каким мы это делаем для нашего разбиения.

Мы применяем полученные результаты к компактификации пространства  $j$ -инвариантов тригональных кривых на линейчатой поверхности, т.е. отображений базы линейчатой поверхности в модулярную кривую, см. [3, п. 4], а также [4, 2.1.2, 3.1.1]. Для работы с тригональными кривыми мы выбираем на сфере базовый граф, названный нами топологическим оседром (см. п. 3.1). Клеточное разбиение работы [5], более экономное по числу клеток, чем наше, не удобно для изучения тригональных кривых, поскольку  $j$ -инвариант имеет фиксированные критические значения.

В дальнейших работах мы намереваемся применить полученные результаты для вычисления фундаментальной группы пространства неособых тригональных кривых, знание которой поможет получить новые ограничения в топологии вещественных алгебраических многообразий, в частности, поверхностей степени 5 в вещественном проективном пространстве.

Структура статьи: Пункт 2 содержит необходимые сведения из работы [1]: в пунктах 2.1, 2.2 напоминаются понятия вырожденной (особой) поверхности и накрытия ею двумерной сферы, а в п. 2.3 повторяется определение топологии в  $\bar{X}_{\Sigma,n}$ . В пунктах 3.1, 3.2 изучаются графы разветвлённых накрытий и преобразования графов. В пункте 4 вводится клеточная структура и строится двойственное разбиение пространства

$\bar{X}_{\Sigma,n}$  и его подпространств, а в п. 5 полученные результаты применяются к пространству тригональных кривых.

## 2 Пространство классов изоморфности разветвлённых накрытий.

Повторим необходимые сведения из статьи [1].

### 2.1 Особая поверхность

В настоящей работе *поверхностью* будем называть хаусдорфово топологическое пространство со счетной базой, любая точка которого имеет окрестность, гомеоморфную открытому кругу или букету открытых кругов, (или объединению открытого полукруга с диаметром на его границе – для поверхностей с краем, который определяется стандартным образом). Назовем такую окрестность *допустимой*, а круги букета – *ветвями поверхности* в центре букета. Мы будем считать, что каждой точке  $v$  такой поверхности приписано некоторое целое неотрицательное число  $g_v$ , называемое *локальным родом поверхности в точке  $v$* , причем для всех точек кроме конечного числа и для точек на крае поверхности локальный род равен нулю. То есть, говоря более формально, поверхность – это пара, состоящая из топологического пространства и заданной на нем целозначной функции  $v \mapsto g_v$ , обладающих перечисленными свойствами. Обозначим через  $m_v$  число ветвей поверхности в точке  $v$  и через  $\mu_v = 2g_v + m_v - 1$  – *число Милнора* точки  $v$ . Точки с  $\mu_v > 0$  назовем *особыми точками* поверхности. Поверхность с особыми точками назовем *вырожденной*, или *особой*, а без особых точек – *неособой поверхностью*.

Если для каждой точки  $v$  с  $m_v > 1$  заменить ее допустимую окрестность несвязным объединением кругов, т.е. вырезать эту окрестность и заклеить полученные дыры кругами, то получим поверхность, которую назовем *нормализацией* исходной поверхности. Имеется естественная проекция  $\pi$  нормализации на исходную поверхность, переводящая каждый приклеенный круг в соответствующий круг букета. *Компонентами* поверхности называются компоненты связности ее нормализации. Таким образом, *компонента поверхности является двумерным многообразием*. Поверхность называется *ориентированной/замкнутой*, если ее нормализация ориентирована/замкнута (компактна и без края).

Всюду ниже мы рассматриваем ориентированные поверхности и отображения, сохраняющие их ориентацию.

Пусть  $\Sigma_0$  – поверхность (в вышеуказанном смысле, возможно, особая),  $v$  – любая ее точка и  $U_v$  – замыкание допустимой окрестности этой точки. Склеим по их общему краю поверхность  $\Sigma_0 \setminus \text{Int}U_v$  и связную компактную ориентируемую (возможно, особую) поверхность  $\tilde{U}_v$  с  $m_v$  компонентами края, для которой  $b_2(\tilde{U}_v) = 0$  (т.е.  $\tilde{U}_v$  не имеет компонент без края) и  $b_1(\tilde{U}_v) + \sum_{x \in \tilde{U}_v} \mu_x = \mu_v$ ; здесь через  $b_i$  мы обозначаем  $i$ -е число Бетти. Назовем полученную поверхность  $\Sigma_1$  *возмущением поверхности  $\Sigma_0$  в точке  $v$* , или *локальным возмущением*, а поверхность  $\Sigma_0$  – *локальным вырождением поверхности  $\Sigma_1$ , полученными с помощью  $U_v, \tilde{U}_v$* . Композицию конечного числа локальных возмущений/вырождений поверхности назовем *возмущением/вырождением* этой поверхности.

## 2.2 Возмущения/вырождения накрытий

Отображение  $f$  поверхности  $\Sigma'$  в двумерную сферу назовем *разветвленным накрытием*, если сужение композиции  $f \circ \pi$  (см. п. 2.1) на каждую компоненту этой поверхности является разветвленным накрытием, сохраняющим ориентацию, и особые точки  $v \in \Sigma'$  с  $m_v = 1$  являются точками ветвления отображения  $f$ . Точки ветвления отображения  $f$ , а также особые точки поверхности  $\Sigma'$  мы будем называть *критическими точками* отображения  $f$ , а их образы – *критическими значениями*.

Для разветвленного накрытия  $f_0 : \Sigma_0 \rightarrow S^2$  пусть  $v$  – его критическая точка и  $\bar{U}_w$  – замкнутый круг на сфере, содержащий внутри себя точку  $w = f_0(v)$  и не содержащий других критических значений накрытия  $f_0$ . Выберем компоненту связности  $U_v$  множества  $f^{-1}(\bar{U}_w)$ , содержащую точку  $v$ . Ясно, что это замкнутая допустимая окрестность точки  $v$ . Пусть  $\Sigma_1$  – возмущение поверхности  $\Sigma_0$  в точке  $v$ , полученное с помощью  $U_v, \tilde{U}_v$ . Назовем разветвленное накрытие  $f_1 : \Sigma_1 \rightarrow S^2$  *возмущением накрытия  $f_0$  в точке  $v$* , или *локальным возмущением*, с областью возмущения  $\bar{U}_w$ , а  $f_0$  *локальным вырождением накрытия  $f_1$* , если  $f_0 = f_1$  на  $\Sigma_0 \setminus \text{Int}U_v = \Sigma_1 \setminus \text{Int}\tilde{U}_v$ . Ясно, что  $f_1(\tilde{U}_v) = \bar{U}_w$ .

Пусть теперь круги  $\bar{U}_w$ , выбранные для всех критических значений накрытия  $f_0$ , попарно не пересекаются. Композицию  $f$  конечного числа локальных возмущений этого накрытия, имеющих области возмущения  $\bar{U}_w$ , назовем *возмущением* этого накрытия. Объединение  $V = \bigcup_w \bar{U}_w$  назовем *областью возмущения* накрытия  $f_0$ . При этом накрытие  $f_0$  называется *вырождением* накрытия  $f$ .

Далее нам понадобятся вырождения только фиксированной *неособой* поверхности  $\Sigma$  (см. введение).

Пусть  $f' : \Sigma' \rightarrow S^2$  – вырождение разветвленного накрытия  $f : \Sigma \rightarrow S^2$ , отвечающее области возмущения  $V$ . Для каждой критической точ-

ки  $v$  накрытия  $f'$  определены поверхности  $U_v \subset \Sigma', \tilde{U}_v \subset \Sigma$ . Обозначим через  $k_1, k_2, \dots, k_{m_v}$  степени сужений накрытия  $f'$  на граничные окружности букета дисков  $U_v$ . Ясно, что сумма  $\sum_{i=1}^{m_v} k_i$  равна локальной степени  $\deg_v f'$  отображения  $f'$  в точке  $v$ , т.е. кратности этой точки как корня уравнения  $w = f'(v)$ . *Индексом точки  $v \in \Sigma'$*  назовем число  $\text{ind}_v = \mu_v + \deg_v f'$ .

*Кратностью критического значения* разветвленного накрытия  $f'$  назовем сумму уменьшенных на 1 индексов прообразов этого значения. Критическое значение кратности 1 называется *простым*, а не простое – *кратным*.

Ясно, что если два накрытия изоморфны, то для любого возмущения/вырождения  $f$  первого из них существует возмущение/вырождение второго, изоморфное  $f$ . Поэтому можно говорить о возмущении/вырождении класса изоморфности накрытия.

Пусть  $V = \bigcup_{e \in E} D_e \subset S^2$  – объединение попарно непересекающихся замкнутых топологических кругов, где  $e$  – фиксированная внутренняя точка круга  $D_e$ . Предположим, что критические значения разветвленных накрытий  $f_0 : \Sigma_0 \rightarrow S^2, f_1 : \Sigma_1 \rightarrow S^2$  являются простыми и лежат внутри  $V$ . Назовем такие накрытия  $(V, E)$ -*эквивалентными*, если существуют гомеоморфизмы  $\alpha : \Sigma_0 \rightarrow \Sigma_1$  и  $\varphi : S^2 \rightarrow S^2$ , для которых

- (i)  $\varphi \circ f_0 = f_1 \circ \alpha$ ;
- (ii) точки множества  $E \cup (S^2 \setminus \text{Int}V)$  остаются неподвижными под действием гомеоморфизма  $\varphi$ , причём  $\varphi$  изотопен тождественному в классе гомеоморфизмов, оставляющих неподвижными эти точки.

**Предложение 1.** (см. [1, предложение 4])

*Для любого разветвленного накрытия  $f_0 : \Sigma_0 \rightarrow S^2$  существует его возмущение  $f_1 : \Sigma_1 \rightarrow S^2$  в критической точке  $v$ , для которого поверхность  $\tilde{U}_v \subset \Sigma_1$  неособа и  $\chi(\tilde{U}_v) = 2 - 2g_v - m_v$ . Более того,  $f_1$  можно выбрать так, чтобы все его критические значения в области возмущения  $\bar{U}_w$ , где  $w = f_0(v)$ , были простыми и заранее заданными. В последнем случае накрытие  $f_1$  единственно с точностью до  $(\bar{U}_w, w)$ -эквивалентности.*

### 2.3 Топология в множестве классов изоморфности разветвленных накрытий.

Напомним, что  $\Sigma$  – неособая ориентированная замкнутая поверхность. Как и во введении, обозначим через  $X_{\Sigma, n}$  множество классов изоморф-

ности  $n$ -листных разветвленных накрытий  $\Sigma \rightarrow S^2$  и через  $\bar{X}_{\Sigma,n}$  – множество всех вырождений классов изоморфности накрытий из  $X_{\Sigma,n}$ .

Для  $[f] \in \bar{X}_{\Sigma,n}$  выберем область возмущения  $V$  накрытия  $f$ . Обозначим через  $U_{[f],V} \subset \bar{X}_{\Sigma,n}$  множество классов изоморфности всех возмущений накрытия  $f$ , задаваемых областью возмущения  $V$ . Другими словами, это те классы возмущений накрытий из  $[f]$ , множества критических значений которых лежат в  $V$ .

**Предложение 2.** (см. [1, предложение 5]) *Совокупность  $\{U_{[f],V} \mid f \in \bar{X}_{\Sigma,n}, V \text{ – область возмущения накрытия } f\}$  образует базу топологии в множестве  $\bar{X}_{\Sigma,n}$ . Подмножество  $X_{\Sigma,n}$  всюду плотно в пространстве  $\bar{X}_{\Sigma,n}$  с этой топологией.*

## 3 Осография

### 3.1 Граф разветвлённого накрытия сферы

Пусть  $a$  – целое положительное число. Выберем на двумерной сфере  $S^2$  две диаметрально противоположные точки – *полюсы*, один полюс изобразим чёрным цветом, другой – крестом и назовём их, соответственно, *•-вершиной* и *×-вершиной*. Соединим эти вершины  $a$  полуокружностями – *меридианами*, ориентируем меридианы в направлении от •- к ×-вершине и занумеруем их числами от 1 до  $a$  при обходе •-вершины против часовой стрелки. Выберем на (необязательно всех) меридианах конечное множество точек. Назовём *топологическим осоэдром*  $\Theta$  или просто *осоэдром* ориентированный граф с вершинами в полюсах и в выбранных точках, рёбрами которого являются дуги указанных меридианов, ориентированные так же, как меридианы, причём каждое ребро пометим номером того меридиана, на котором оно лежит. *Стационарными вершинами* назовём •- и ×-вершину, а *мобильными* – остальные вершины. Осоэдр называется *минимальным*, если при  $a > 1$  он не содержит рёбер, являющихся меридианами, т.е. соединяющих •-вершину с ×-вершиной.

Пусть  $f : \Sigma \rightarrow S^2$  – конечнолистное разветвлённое накрытие сферы ориентированной замкнутой поверхностью  $\Sigma$ , сохраняющее ориентацию. Обозначим через  $\Theta(f)$  минимальный осоэдр, множество вершин которого содержит все критические значения накрытия  $f$  и любая мобильная вершина является критическим значением (так что стационарные вершины могут не быть критическими значениями). Пусть  $a_f = a$  – число меридианов осоэдра  $\Theta(f)$ . В частности, если  $f$  не имеет критических значений, отличных от полюсов, то  $a_f = 1$  и  $\Theta(f)$  состоит из двух (стационарных) вершин и одного (произвольного) меридиана.

Графом  $\Gamma(f)$  разветвлённого накрытия  $f : \Sigma \rightarrow S^2$  называется ориентированный граф на поверхности  $\Sigma$ , вершины которого – это, во-первых, прообразы  $\bullet$ - и  $\times$ -вершин графа  $\Theta(f)$ , называемые, соответственно,  $\bullet$ - и  $\times$ -вершинами, (*стационарные* вершины), и во-вторых – критические точки накрытия  $f$ , отличные от стационарных вершин, (*мобильные* вершины). Пусть  $\Theta^1 \subset S^2$  – объединение вершин и рёбер остоэдра  $\Theta(f)$ . Рёбрами графа  $\Gamma(f)$  являются компоненты прообраза  $f^{-1}(\Theta^1)$ , разрезанного в вершинах графа  $\Gamma(f)$ , причём каждое ребро ориентировано так же и помечено тем же числом, что и его образ в  $\Theta(f)$ . Другими словами,  $\Gamma(f)$  получается из  $f^{-1}(\Theta(f))$  удалением мобильных вершин валентности 2, отличных от особых точек поверхности  $\Sigma$ . (Валентность вершины – число примыкающих к ней рёбер.)

Ясно, что валентности мобильных вершин чётны и не меньше 4, а стационарных – кратны  $a_f$ . Например, для  $n$ -листного разветвлённого накрытия  $f : S^2 \rightarrow S^2$  с двумя критическими точками, лежащими над полюсами,  $a_f = 1$ , как указано выше, и  $\Gamma(f)$  – остоэдр, не минимальный при  $n > 1$ .

На рисунках 1, 2 показаны примеры графов  $\Gamma(f)$  и их образов  $\Theta(f)$  для разветвлённых накрытий степеней 2 и 3. На рисунке 2 левая стрелка

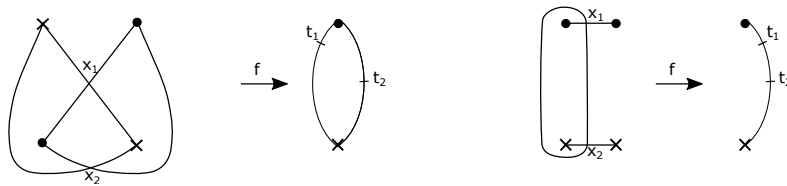


Рис. 1. Графы двулистных разветвлённых накрытий

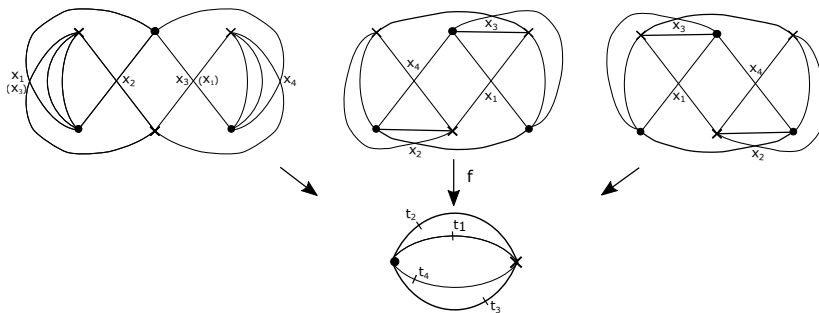


Рис. 2. Графы трёхлистных разветвлённых накрытий

ка отвечает двум накрытиям, переходящим друг в друга перестановкой вершин  $x_1, x_3$ .

Ясно, что для изоморфных накрытий  $f_1, f_2$  графы  $\Gamma(f_1)$  и  $\Gamma(f_2)$  изоморфны и  $\Theta(f_1) = \Theta(f_2)$ .

**Определение 1.** *Осоэдральным графом с параметром  $a$*  называется конечный ориентированный граф  $\Gamma$ , вложенный в ориентированную замкнутую поверхность  $\Sigma$  и наделённый следующей структурой:

- (1) рёбра графа  $\Gamma$  помечены числами от 1 до  $a$ .
- (2) все особые точки поверхности являются вершинами графа (*особыми* вершинами);
- (3) вершины графа разбиваются на *стационарные* и *мобильные*, стационарные – на  $\bullet$ - и  $\times$ -вершины ( $\bullet$  и  $\times$  – *метки*, или *цвета* стационарных вершин);
- (4) валентность каждой стационарной вершины кратна  $a$ , а мобильной – чётна;
- (5) все рёбра, примыкающие к  $\bullet$ -вершине ( $\times$ -вершине), выходят из неё (соответственно, входят в неё) и их метки на каждой компоненте поверхности  $\Sigma$  изменяются циклически от 1 до  $a$  при положительном (соответственно, отрицательном) обходе этой вершины, задаваемом ориентацией компоненты поверхности;
- (6) метки всех рёбер, примыкающих к мобильной вершине, одинаковы и задают её *метку*, или *цвет*, причём входящие и выходящие рёбра чередуются на каждой компоненте поверхности;
- (7) каждая грань графа  $\Gamma$  односвязна и имеет на границе по одной  $\bullet$ - и  $\times$ -вершине.

Заметим, что в силу свойств (2) и (7) граф  $\Gamma$  связан.

Для любой грани  $F$  графа  $\Gamma$ , в силу условий (7), (5) и (6),  $\bullet$ - и  $\times$ -вершины разбивают её границу  $\partial F$  на два ориентированных пути  $\partial^i F$ ,  $\partial^{i+1} F$ , первый из которых состоит из рёбер с меткой  $i$ , а второй – с меткой  $(i + 1) \bmod a$ .

Объединение всех (открытых) рёбер, помеченных числом  $i$ , и примыкающих к ним мобильных вершин называется  *$i$ -й монохромной частью* графа  $\Gamma$ . Это определение корректно в силу условия (6). Осоэдральный граф, отличный от осоэдра, называется *минимальным*, если он не содержит мобильных вершин валентности 2 и для любого  $i = 1, \dots, a$  его

$i$ -я монохромная часть содержит мобильную вершину. Путь в графе  $\Gamma$  называется *монохромным*, если он лежит в монохромной части, т.е. не проходит через стационарные вершины и все его рёбра помечены одним и тем же числом. Определим бинарное отношение  $\prec$  на множестве мобильных вершин графа:  $u \prec v$ , если существует монохромный ориентированный путь, идущий из  $u$  в  $v$ . Осоздальный граф называется *допустимым*, если отношение  $\prec$  является частичным порядком. Ясно, что отношение  $\prec$  транзитивно, поэтому оно является частичным порядком тогда и только тогда, когда граф  $\Gamma$  не содержит ориентированных монохромных циклов.

Простейшим примером допустимого осоздального графа является осоздр. Пример недопустимого осоздального графа указан на рис. 3 (жирной линией указан ориентированный монохромный цикл). Мини-

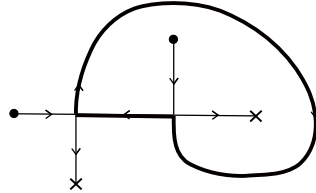


Рис. 3. Недопустимый осоздальный граф

мальный допустимый осоздальный граф (с параметром  $a$ ) назовём *осографом* (соответственно,  *$a$ -осографом*).

Пусть  $\Gamma_1, \Gamma_2$  – осоздальные графы. Отображение  $\varphi : \Gamma_1 \rightarrow \Gamma_2$  называется *морфизмом* осоздальных графов, если оно сохраняет осоздальную структуру, т.е. переводит вершины, рёбра, грани графа  $\Gamma_1$ , соответственно, в вершины, рёбра, грани графа  $\Gamma_2$ , сохраняя тип вершин, ориентации и метки рёбер.

**Теорема 1.** (i) *Осоздальный граф  $\Gamma$  допустим тогда и только тогда, когда существует морфизм этого графа на осоздр.*

(ii) *Граф  $\Gamma$  можно представить графом разветвлённого накрытия сферы тогда и только тогда, когда он является осографом.*

(iii) *Для данного осографа  $\Gamma$  разветвлённое накрытие  $f$  с  $\Gamma(f) = \Gamma$  определяется с точностью до изоморфности образами мобильных вершин графа  $\Gamma$ , или, что равносильно, критическими значениями накрытия  $f$  с наборами их прообразов.*

*Доказательство.* Для доказательства первого утверждения воспользуемся идеей доказательства аналогичной теоремы [4, Теорема 4.11].

Пусть  $\Gamma$  – осоэдральный граф с параметром  $a$ .

Построим морфизм  $f : \Gamma \rightarrow \Theta$ , где  $\Theta$  – осоэдр с  $a$  меридианами, мобильные вершины которого зададим в ходе построения. Морфизм переводит стационарные вершины в стационарные. Расстояние от  $\bullet$ -вершины осоэдра до точки на его меридиане задаёт на каждом меридиане линейный порядок  $<$ . Продолжим частичный порядок  $\prec$  на множестве вершин  $i$ -й монохромной части графа  $\Gamma$  до произвольного линейного порядка и отобразим монотонно это множество на возрастающий набор равноотстоящих друг от друга точек  $i$ -го меридиана осоэдра  $\Theta$ , задав тем самым мобильные вершины осоэдра. Ясно, что полученное отображение продолжается на всю  $i$ -ю монохромную часть. Таким образом, для любой грани  $F$  графа  $\Gamma$  отображение  $f$  задано на обеих частях  $\partial^i F$ ,  $\partial^{i+1} F$  её границы. Так как  $F$  односвязна,  $f$  продолжается на эту грань, переводя её в двуугольник между  $i$ -м и  $i + 1$ -м меридианами на сфере, что завершает построение морфизма  $f$ .

Обратно, линейный порядок  $<$  на  $i$ -м меридиане осоэдра  $\Theta$  индуцирует с помощью морфизма  $f : \Gamma \rightarrow \Theta$  частичный порядок на множестве вершин  $i$ -й монохромной части графа  $\Gamma$ . Поэтому  $\Gamma$  допустим.

Докажем второе утверждение.

Пусть  $f$  – разветвлённое накрытие сферы. Поскольку грани графа  $\Theta(f)$  не содержат критических значений функции  $f$ , грани графа  $\Gamma(f)$  односвязны. Справедливость для  $\Gamma(f)$  остальных пунктов определения осоэдрального графа сразу следует из определения графа  $\Gamma(f)$ . Поскольку отображение  $f : \Gamma(f) \rightarrow \Theta(f)$  сохраняет ориентацию рёбер, отношение  $\prec$  на  $i$ -й монохромной части графа  $\Gamma(f)$  индуцировано линейным порядком на  $i$ -м меридиане графа  $\Theta(f)$  и потому является частичным порядком. Следовательно, граф  $\Gamma(f)$  допустим и  $f$  – морфизм. Кроме того, ясно, что  $\Gamma(f)$  минимален и потому является осографом.

Обратно, пусть  $\Gamma$  – осограф на поверхности  $\Sigma$  и  $f : \Gamma \rightarrow \Theta$  – морфизм, построенный в доказательстве первого утверждения. Можно считать, что  $f$  индуцирован некоторым непрерывным отображением  $\Sigma \rightarrow S^2$ , которое мы также обозначим через  $f$ . Ясно, что точки граней и внутренние точки рёбер являются регулярными точками отображения  $f$ . Поэтому все его критические точки изолированы, и  $f$  является разветвлённым накрытием.

Докажем третье утверждение. Из доказательств первого и второго утверждений следует существование накрытия  $f$  с  $\Gamma(f) = \Gamma$  и с заданными образами мобильных вершин графа  $\Gamma$ . Нумерация  $t_1, \dots, t_k$  полюсов сферы и этих образов задаёт *созвездие*, т.е. набор перестановок, поро-

дающих группу монодромии накрытия  $f$  (см. [2, 1.2.3]). Согласно [2, §1.6], граф  $\Gamma$  вместе с точками  $t_1, \dots, t_k$  однозначно определяют это созвездие. Наконец, [2, Предложение 1.2.16] даёт изоморфность разветвлённых накрытий сферы с данным созвездием.  $\square$

Для разветвлённого накрытия  $f : \Sigma \rightarrow S^2$  той же буквой будем обозначать соответствующий морфизм  $f : \Gamma(f) \rightarrow \Theta(f)$ .

Заметим, что существуют накрытия  $f_1, f_2$  с  $\Gamma(f_1) \cong \Gamma(f_2)$  и  $\Theta(f_1) \not\cong \Theta(f_2)$ , поскольку образы двух несравнимых мобильных вершин одного цвета могут быть разными, а могут совпасть. Наименьшая степень таких накрытий равна 4.

**Замечание 1.** В выборе базового графа на сфере, с помощью которого определяется граф разветвлённого накрытия возможны другие варианты. Можно построить "широтный" вариант теории, заменив осоэдр базовым графом, вершины и рёбра которого лежат на одном меридиане и нескольких параллелях. Такой граф, как и осоэдр, связаны с полярными координатами на плоскости – образе сферы при стереографической проекции из полюса. С прямоугольными координатами на этой плоскости связан базовый граф, образованный букетом окружностей на сфере, касающихся друг друга в точке  $\infty$ . С помощью такого базового графа можно, например, описать клеточное разбиение пространства  $N(\Sigma, n)$ , построенное в [5].

### 3.2 Преобразования графов

Для  $i = 0, 1$  пусть  $\Gamma_i$  – осограф на поверхности  $\Sigma_i$  и  $f_i$  – разветвлённое накрытие с  $\Gamma(f_i) = \Gamma_i$ . Назовём осограф  $\Gamma_1$  *возмущением осографа*  $\Gamma_0$ , а осограф  $\Gamma_0$  – *вырождением осографа*  $\Gamma_1$ , если  $f_1$  – возмущение накрытия  $f_0$ .

Ясно, что если  $\Gamma_i$  –  $a_i$ -осограф, то  $a_1 \geq a_0$ .

Операции перехода от  $\Gamma_0$  к  $\Gamma_1$  и обратно также назовём *возмущением* и *вырождением осографа*.

Следующие три вырождения назовём *элементарными*:

- (a) вырождение  $mob(v_1, v_2)$ , стягивающее в мобильную вершину  $v$  все параллельные ребра, соединяющие две различные смежные мобильные вершины  $v_1, v_2$ ; при этом  $v$  неособа тогда и только тогда, когда  $v_1, v_2$  соединены единственным ребром;
- (b) вырождение  $stat(v)$ , стягивающее в стационарную вершину все рёбра, соединяющие с мобильной вершиной  $v$  одну или несколько ста-

ционарных вершин одного цвета; при этом полученная стационарная вершина неособа тогда и только тогда, когда  $v$  соединена с каждой из указанных стационарных вершин единственным ребром;

- (с) вырождение  $edg$ , которое вырезает каждую грань  $F$  между  $i$ -й и  $i + 1$ -й монохромными частями графа  $\Gamma_1$  и склеивает  $\partial^i F$  с  $\partial^{i+1} F$  так, что никакие две вершины не склеиваются в одну.

Возмущения, обратные к элементарным вырождениям, назовём *элементарными возмущениями*.

Ясно, что элементарные преобразования переводят осографы в осографы, поэтому можно говорить об элементарных преобразованиях накрытий и, более того, их классов изоморфности.

**Предложение 3.** Пусть  $f_1$  – возмущение накрытия  $f_0$ , имеющее область возмущения  $V$  и полученное с помощью  $stat^{-1}(v_1)$ , где  $v_1$  – критическая точка индекса 2 (т.е.  $f_1(v_1)$  – простое критическое значение). Тогда  $f_1$  единственно с точностью до  $(V, w)$ -эквивалентности (см. определение в п. 2.2), где  $w \in V$  – стационарная вершина графа  $\Gamma(f_0)$ .

*Доказательство.* Пусть  $f_2 : \Sigma_2 \rightarrow S^2$  – возмущение накрытия  $f_0$ , имеющее ту же область возмущения  $V$  и полученное с помощью  $stat^{-1}(v_2)$ , где  $v_2$  – критическая точка индекса 2. Докажем, что  $f_1, f_2$  являются  $(V, w)$ -эквивалентными.

Выберем в (замкнутом) круге  $V = \bar{U}_w$  (см. обозначения в п. 2.2) замкнутый сектор  $D$ , содержащий точки  $f_1(v_1)$  и  $f_2(v_2)$ . Поскольку  $v_1, v_2$  – критические точки индекса 2, на обеих поверхностях  $\Sigma_1, \Sigma_2$  поверхность  $\tilde{U}_v$  является кругом, если точка  $w$  неособа, и кольцом в противном случае. Поэтому можно считать, что  $\Sigma_1, \Sigma_2$  – это одна и та же поверхность  $\Sigma$ . Вне  $\tilde{U}_v$  накрытия  $f_1, f_2$  совпадают. В  $\tilde{U}_v$  на прообразах граничных радиусов сектора  $D$  эти накрытия, очевидно, гомотопны. Эту гомотопию можно продолжить на прообразы сектора  $D$  и его дополнения в  $V$ , поскольку на всех компонентах этих прообразов, кроме одной, накрытия  $f_1, f_2$  однолиственны, а на оставшейся компоненте двулистно накрывают  $D$  с единственной точкой ветвления.  $\square$

## 4 Клеточная структура

### 4.1 0-in-граф

Будем считать осоедр  $\Theta$  подмножеством сферы  $S^2$ , чтобы можно было говорить об углах между меридианами и расстояниях от полюсов до вер-

шин осоэдра. Выделим на сфере меридиан, который назовём *нулевым*. Объединение осоэдра  $\Theta$  с нулевым меридианом назовём *0-in-осоэдром*. В частности, мы считаем, что для минимального 0-in-осоэдра без мобильных вершин нулевой меридиан является его единственным ребром. Пусть  $\Gamma$  – осоэдральный граф с параметром  $a+1$ , рёбра которого помечены числами от 0 до  $a$ . Граф  $\Gamma$  назовём *0-in-графом* (точнее, *a-0-in-графом*), если существует морфизм  $f : \Gamma \rightarrow \Theta$ , переводящий 0-ю монохромную часть в нулевой меридиан,  $\Gamma$  не содержит мобильных вершин валентности 2 и для любого  $i = 1, \dots, a$  его  $i$ -я монохромная часть содержит мобильную вершину. Таким образом, 0-in-граф является осографом тогда и только тогда, когда его 0-я монохромная часть содержит хотя бы одну (мобильную) вершину; если же его 0-я монохромная часть не содержит вершин, он будет осографом после её удаления.

Пусть  $\Gamma$  – 0-in-граф. Назовём его *0-in-графом разветвлённого накрытия*  $f$ , если  $\Gamma$  есть объединение графа этого накрытия с прообразом нулевого меридиана. Возмущения/вырождения 0-in-графов определяются с помощью накрытий так же, как и возмущения/вырождения осографов.

## 4.2 Отображение $L$

Для  $a$ -0-in-графа  $\Gamma$  на поверхности  $\Sigma$  обозначим через  $E_\Gamma$  множество классов изоморфности разветвлённых накрытий  $f : \Sigma \rightarrow S^2$ , 0-in-графы которых изоморфны  $\Gamma$ . Для каждого  $i = 0, 1, \dots, a$  занумеруем мобильные вершины  $i$ -й монохромной части графа  $\Gamma$ , обозначив их через  $v_{ij}$ . Пусть  $\nu_i = \#\{v_{ij}\}$  – число таких вершин и  $k = \sum_i \nu_i$ . Обозначим через  $L_\Gamma : E_\Gamma \rightarrow (S^2)^k$  отображение, переводящее накрытие  $f$  в набор  $f(v_{ij})$  его критических значений, отличных от полюсов.

Если  $\Gamma$  не имеет мобильных вершин, то  $a = 0$  и отображение  $L_\Gamma$  не определено.

Обозначим через  $\sigma : [0, 2\pi] \times [0, \pi] \rightarrow S^2$  параметризацию сферы, где  $\sigma(\lambda, \varphi)$  – точка с долготой  $\lambda$  и широтой  $\varphi$ , причём  $\sigma(0 \times [0, \pi]) = \sigma(2\pi \times [0, \pi])$  – нулевой меридиан, а  $\sigma(0, 0)$  и  $\sigma(0, \pi)$  – соответственно,  $\bullet$ - и  $\times$ -вершины. Пусть  $\sigma^k : ([0, 2\pi] \times [0, \pi])^k \rightarrow (S^2)^k$  – произведение параметризаций. Ясно, что сужение отображения  $\sigma^k$  на  $([0, 2\pi] \times (0, \pi))^k$  является топологическим вложением. Обозначим через  $\lambda_{ij} \in [0, 2\pi], \varphi_{ij} \in [0, \pi]$  координаты в  $([0, 2\pi] \times [0, \pi])^k$ , где  $i = 0, 1, \dots, a, j = 1, \dots, \nu_i$ .

**Теорема 2.** *Отображение  $L_\Gamma$  – топологическое вложение. Множество  $\mathring{M} = (\sigma^k)^{-1}(L_\Gamma(E_\Gamma)) \cap ([0, 2\pi] \times [0, \pi])^k$  является открытым выпуклым многогранником размерности  $k + a$ .*

*Доказательство.* Если  $L_\Gamma([f_1]) = L_\Gamma([f_2])$ , то множества критических значений накрытий  $f_1, f_2$  совпадают и графы  $\Gamma(f_1), \Gamma(f_2)$  изоморфны. Следовательно, по п. 3 теоремы 1  $[f_1] = [f_2]$  и  $L_\Gamma$  инъективно.

Для  $[f] \in E_\Gamma$  внутренность области возмущения  $V$  накрытия  $f$ , очевидно, задаёт окрестность  $\tilde{V}$  точки  $x = L_\Gamma([f])$ . Согласно теореме 1, класс  $[f]$  однозначно определяется графом  $\Gamma$  и набором точек  $f(v_{ij})$ . Поэтому  $L_\Gamma(E_\Gamma \cap U_{[f],V}) = \tilde{V} \cap L_\Gamma(E_\Gamma)$ . Обратно, любая окрестность  $\tilde{V}$  точки  $x$  задаёт область возмущения  $V$  накрытия  $f$  с  $L_\Gamma(E_\Gamma \cap U_{[f],V}) = \tilde{V} \cap L_\Gamma(E_\Gamma)$ . Учитывая предложение 2, получаем, что  $L_\Gamma$  устанавливает биекцию между базами топологий в точке  $[f]$  и в точке  $x$ . В силу сказанного выше,  $L_\Gamma$  – инъекция, поэтому  $L_\Gamma$  – топологическое вложение.

Из доказательства теоремы 1 следует, что каждый класс  $[f] \in E_\Gamma$  однозначно определяется следующими данными: 1)  $a$  меридианами осяздр  $\Theta(f)$ , причём если  $i$ -й меридиан получается из нулевого поворотом на угол  $x_i$ , то  $0 < x_1 < x_2 < \dots < x_a < 2\pi$ , и 2) образами мобильных вершин графа  $\Gamma$ , удовлетворяющих условию  $v_{ij} \prec v_{ik} \Leftrightarrow x_{ij} < x_{ik}$ , где  $x_{ij}$  – широта точки  $f(v_{ij})$ . Поэтому, учитывая то, что сужение отображения  $\sigma^k$  на  $((0, 2\pi) \times (0, \pi))^k$ , как отмечено выше, является топологическим вложением, получаем, что  $\overset{\circ}{M}$  задаётся в  $([0, 2\pi] \times [0, \pi])^k$  уравнениями  $\lambda_{01} = \lambda_{02} = \dots = \lambda_{0\nu_0} = 0$ ,  $\lambda_{i1} = \lambda_{i2} = \dots = \lambda_{i\nu_i}, i = 1, \dots, a$  и указанными выше неравенствами для долгот и широт образов мобильных вершин графа  $\Gamma$ . Следовательно,  $\overset{\circ}{M}$  является открытым выпуклым многогранником размерности  $k + a$ . □

**Следствие 1.** Пространство  $\bar{X}_{\Sigma,n}$  разбивается на открытые клетки  $E_\Gamma$ . Для  $a$ -0-ип-графа  $\Gamma$  размерность клетки  $E_\Gamma$  равна  $\nu_0 + \sum_{i=1}^a (1 + \nu_i) = k + a$ , где  $\nu_i$  – число мобильных вершин  $i$ -й монохромной части графа  $\Gamma$ . □

**Замечание 2.** Из доказательства теоремы 2 следует, что  $\overset{\circ}{M}$  задаётся в  $([0, 2\pi] \times [0, \pi])^k$  уравнениями и неравенствами для долгот и широт образов мобильных вершин графа  $\Gamma$ , указанными в теореме. Поэтому в качестве координат в  $\overset{\circ}{M}$  можно взять долготы  $x_1 = \lambda_{11}, x_2 = \lambda_{21}, \dots, x_a = \lambda_{a1}$  и широты  $x_{ij} = \varphi_{ij}$  образов мобильных вершин  $v_{ij}$  графа  $\Gamma$ , где  $i = 0, 1, \dots, a, j = 1, \dots, \nu_i$ . □

### 4.3 Характеристическое отображение клетки

По теореме 2 множество  $\overset{\circ}{M}$  является открытым выпуклым многогранником и потому гомеоморфно открытому шару  $\text{Int}D^{\dim E_\Gamma}$ . Обозна-

чим через  $M$  замыкание этого множества в  $([0, 2\pi] \times [0, \pi])^k$ . Ясно, что  $M \cong D^{\dim E_\Gamma}$  – ограниченный замкнутый многогранник.

**Теорема 3.** *Обозначим через  $\bar{E}_\Gamma$  объединение клетки  $E_\Gamma$  с клетками, отвечающими всем вырождениям 0-ип-графа  $\Gamma$ . Тогда*

- (i)  $\bar{E}_\Gamma$  – замыкание клетки  $E_\Gamma$ ;
- (ii) *Существует характеристическое отображение  $\chi_\Gamma : M \rightarrow \bar{X}_{\Sigma, n}$  клетки  $E_\Gamma$ , т.е.  $\chi_\Gamma$  переводит  $\overset{\circ}{M}$  гомеоморфно на  $E_\Gamma$ , а  $\partial M$  – в объединении клеток размерности  $< \dim E_\Gamma$ .*
- (iii)  $\chi_\Gamma(M) = \bar{E}_\Gamma$ .

*Доказательство.* (i) Пусть  $[f_0]$  – вырождение класса  $[f_1] \in E_\Gamma$  и  $V$  – соответствующая область возмущения класса  $[f_0]$ . Для любой другой области возмущения  $V_1$  этого класса композиция  $\psi \circ f_1$ , где  $\psi$  – гомеоморфизм сферы на себя, переводящий  $V$  в  $V_1$ , является возмущением класса  $[f_0]$ , лежащим в  $E_\Gamma$  и отвечающим области возмущения  $V_1$ . Поскольку совокупность  $\{U_{[f_0], V}\}_V$  образует базу топологии в точке  $[f_0]$ , эта точка лежит в замыкании клетки  $E_\Gamma$ .

Обратно, пусть  $[f_0]$  – точка прикосновения множества  $E_\Gamma$ . Тогда для некоторой области возмущения  $V$  класса  $[f_0]$  окрестность  $U_{[f_0], V}$  этой точки пересекается с  $E_\Gamma$ . Поэтому  $[f_0] \in \bar{E}_\Gamma$ .

- (ii) Положим  $\chi_\Gamma|_{\overset{\circ}{M}} = L_\Gamma^{-1} \circ \sigma^k : \overset{\circ}{M} \rightarrow \bar{X}_{\Sigma, n}$  и продолжим  $\chi_\Gamma$  на  $\partial M$  обратной индукцией по размерности граней многогранника, доказав при этом, что образ каждой открытой грани является клеткой. Пусть на открытую грань  $F_1$  отображение  $\chi_\Gamma$  продолжено и  $\chi_\Gamma(F_1) = E_{\Gamma_1}$  – клетка. Возьмём открытую грань  $F_0$ , лежащую на границе грани  $F_1$  с  $\dim F_0 = \dim F_1 - 1$ , и точку  $x \in F_0$ . Чтобы задать класс  $[f_0] = \chi_\Gamma(x)$ , достаточно указать, согласно теореме 1, граф  $\Gamma_0 = \Gamma(f_0)$  и образы его мобильных вершин при отображении  $f_0$ . При этом возможны следующие случаи.

- (a) Грань  $F_0$  лежит на границе полупространства  $x_{ij} \leq x_{ik}$  (см. обозначения координат в замечании 2). Из описания образа отображения  $L_\Gamma$  (см. доказательство теоремы 2) следует, что существуют класс  $[f_1] \in E_{\Gamma_1}$  и мобильные вершины  $v_{ij}, v_{ik}$  графа  $\Gamma_1$ , для которых  $f_1(v_{ij}), f_1(v_{ik})$  являются соседними вершинами осоедра  $\Theta(f_1)$ , причём широты последних удовлетворяют неравенству  $x_{ij} < x_{ik}$ . Поэтому  $v_{ij}, v_{ik}$  являются смежными и  $v_{ij} \prec v_{ik}$ . В этом случае граф  $\Gamma_0$  получается из графа

$\Gamma_1$  элементарным вырождением  $mob(v_{ij}, v_{ik})$ , стягивающим все параллельные ребра, соединяющие  $v_{ij}$  с  $v_{ik}$ .

- (b) Грань  $F_0$  задаётся уравнением  $x_{i1} = 0$  или  $x_{iv_i} = \pi$ . Тогда существуют класс  $[f_1] \in E_{\Gamma_1}$  и такая мобильная вершина  $v$  графа  $\Gamma_1$ , что в осоедре  $\Theta(f_1)$  вершина  $f_1(v)$  смежна с полюсом. Поэтому  $v$  соединена рёбрами либо с одной, либо с несколькими стационарными вершинами одного цвета. Следовательно, граф  $\Gamma_0$  получается из графа  $\Gamma_1$  элементарным вырождением  $stat(v)$ , стягивающим в стационарную вершину все рёбра, соединяющие эти стационарные вершины с  $v$ . При этом если  $\nu_i = 1$ , то в полученном графе  $i$ -я монохромная часть удаляется.
- (c) Грань  $F_0$  задаётся уравнением  $x_1 = 0$ ,  $x_i = x_{i+1}$  или  $x_a = 2\pi$ . Тогда граф  $\Gamma_0$  получается из графа  $\Gamma_1$  элементарным вырождением  $edg$ .

Во всех перечисленных случаях элементарные вырождения и координаты точки  $x$  однозначно определяют образы мобильных вершин графа  $\Gamma_0$ .

Докажем, что отображение  $\chi_\Gamma$  непрерывно в любой точке  $x \in \partial M$  (и тогда построенное продолжение не будет зависеть от выбора класса  $[f_1] \in E_{\Gamma_1}$  в рассмотренных выше случаях). Пусть  $\chi_\Gamma(x) = [f_0]$ . Внутренность области возмущения  $V$  накрытия  $f_0$ , очевидно, задаёт окрестность  $\tilde{V}$  точки  $L_\Gamma([f_0])$ . Ясно, что  $\chi_\Gamma^{-1}(\bar{E}_\Gamma \cap U_{[f_0], V}) = M \cap (\sigma^k)^{-1}(\tilde{V})$ . Поскольку отображение  $\sigma^k$  непрерывно, множество  $M \cap (\sigma^k)^{-1}(\tilde{V})$  открыто в  $M$ . Остается заметить, что  $\{\bar{E}_\Gamma \cap U_{[f_0], V}\}_V$  — база в точке  $[f_0]$  согласно предложению 2. Поэтому  $\chi_\Gamma$  непрерывно в точке  $x$ .

Утверждение 3 сразу следует из первых двух.  $\square$

Грань  $F$  многогранника  $M$  из доказательства теоремы назовём *исключительной*, если она задаётся уравнениями  $x_{i1} = x_{i2} = \dots = x_{iv_i} = 0$  или  $x_{i1} = x_{i2} = \dots = x_{iv_i} = \pi$ , где  $i \in A \subset \{1, 2, \dots, a\}$ ,  $A \neq \emptyset$ . Исключим из  $([0, 2\pi] \times [0, \pi])^k$  множители, отвечающие координатам  $\lambda_{ij}, \varphi_{ij}$ ,  $i \in A$ ,  $j = 1, \dots, \nu_i$  и обозначим через  $pr_A$  проекцию произведения  $([0, 2\pi] \times [0, \pi])^k$  на полученное пространство. Ясно, что каждой исключительной грани отвечает допустимый осоедральный граф, у которого  $i$ -е монохромные части для  $i \in A$  не содержат мобильных вершин, а после удаления этих частей получается 0-in-граф. Элементарные вырождения таких графов определяются так же, как и элементарные вырождения осографов.

**Предложение 4.** Для каждой исключительной грани  $F$  многогранника  $M$  существуют неисключительные грани этой грани, образы которых при проекции  $\text{pr}_A$  равны  $\text{pr}_A(F)$ . Это те и только те грани, 0-ип-граф которых получается из указанного выше осоздрального графа грани  $F$  удалением  $i$ -х монохромных частей для  $i \in A$ .

*Доказательство.* Для доказательства достаточно применить ко всем  $i$ -м монохромным частям,  $i \in A$ , графа  $\Gamma$ , отвечающего грани  $F$ , элементарные вырождения  $edg$ .  $\square$

**Замечание 3.** Пусть  $F$  – любая грань многогранника  $M$ . Из доказательства теоремы, очевидно, следует, что если  $F$  – неисключительная грань, то сужение отображения  $\chi_\Gamma$  на  $F$ , а если  $F$  – исключительная грань, то отображение  $\chi_\Gamma \circ \text{pr}_A^{-1} : \text{pr}_A(F) \rightarrow \bar{X}_{\Sigma, n}$  является характеристическим отображением некоторой клетки, лежащей на границе клетки  $E_\Gamma$ . Кроме того, для исключительной грани  $F$  имеем  $\dim \text{pr}_A(F) = \dim F - |A|$ , где  $|A|$  – число элементов множества  $A$ .  $\square$

Из доказательства теоремы, очевидно, получаем

**Следствие 2.** Любое возмущение/вырождение осозрафа есть композиция элементарных возмущений/вырождений.  $\square$

**Следствие 3.** Пространство  $\bar{X}_{\Sigma, n}$  является конечным клеточным пространством и потому компактным.

*Доказательство.* Ясно, что при фиксированном  $n$  число графов разветвлённых накрытий степени  $n$  конечно.  $\square$

Это следствие даёт доказательство компактности пространства  $\bar{X}_{\Sigma, n}$ , независимое от [6, Theorem 2.5].

Зафиксируем различные точки  $w_1, \dots, w_r \in S^2$  и разбиения  $\lambda_1, \dots, \lambda_r$  числа  $n$ . Положим  $w = (w_1, \dots, w_r)$ ,  $\lambda = (\lambda_1, \dots, \lambda_r)$ . Пусть  $H(\Sigma, n, w, \lambda) \subset X_{\Sigma, n}$  – множество классов разветвлённых накрытий  $f$ , для которых все критические значения в  $S^2 \setminus \{w_1, \dots, w_r\}$  простые, а  $\lambda_i$  – набор локальных кратностей накрытия  $f$  в точках  $f^{-1}(w_i)$ . При  $r = 0$  имеем  $H(\Sigma, n, w, \lambda) = H(\Sigma, n)$ . Пространство  $H(\Sigma, n, w, \lambda)$ , вообще говоря, несвязно (см., например, [2, Пример 5.5.8]). Все накрытия в  $H(\Sigma, n, w, \lambda)$  имеют одинаковые наборы кратностей  $k_1, \dots, k_r$  критических значений  $w_1, \dots, w_r$ .

Пусть  $H_w$  – любая компонента связности пространства  $H(\Sigma, n, w, \lambda)$ . Из утверждений 1, 3 теоремы 3 получаем

**Следствие 4.** Замыкание  $\bar{H}_w$  множества  $H_w$  в  $\bar{X}_{\Sigma, n}$  является клеточным подпространством.  $\square$

Для  $[f] \in \bar{H}_w$  включим критические значения  $w_1, \dots, w_r$  в множество стационарных значений, а их прообразы – в множество стационарных вершин графа  $\Gamma(f)$ . Назовём нулевой меридиан и меридианы, проходящие через  $w_1, \dots, w_r$ , *стационарными. Монохромной частью* графа  $\Gamma(f)$  назовём прообраз открытой дуги меридиана, соединяющей два стационарных значения. Заметим, что преобразование  $stat(v)$  (см. п. 3.2) применимо и к новым стационарным вершинам.

#### 4.4 Клеточная структура пространства $\bar{X}_{S^2,2}$

Рассмотрим простейший случай двулистных разветвлённых накрытий сферы сферой и укажем в качестве примера клеточное разбиение пространства  $\bar{X}_{S^2,2}$ . Обозначим через  $P^2 \cong \mathbb{C}P^2$  симметрический квадрат сферы  $S^2$ , т.е. фактор-пространство пространства  $(S^2)^2$  по перестановке координат. Согласно [6, п. 3.7], отображение  $LL : \bar{X}_{S^2,2} \rightarrow P^2$ , для которого образом класса изоморфности  $[f]$  накрытия  $f$  является множество, состоящее из критических значений этого накрытия, взятых с их кратностями, является гомеоморфизмом. Поэтому клеточную структуру пространства  $\bar{X}_{S^2,2}$  можно описать на языке осоздров. Но для полноты мы указываем и соответствующие осографы (см. рис.4). На рисунке клетки обозначены через  $e_{cr}^i$ , где  $i$  размерность клетки, а  $cr$  характеризует набор кратностей критических значений; серыми линиями изображены букеты сфер, жирными линиями – нулевой меридиан и его прообраз, тонкими линиями – остальные меридианы и их прообразы. Числа под меридианами указывают кратности критических значений.

Двумерный остов состоит из трёх касающихся друг друга сфер – замыканий клеток  $e_{020}^2, e_{110}^2, e_{011}^2$  и плоского криволинейного треугольника  $e_{0110}^2$ . Точки касания являются 0-клетками; они соединяются кратчайшими дугами на сферах – 1-клетками, являющимися сторонами треугольника  $e_{0110}^2$ .

Клетка  $e_{ri}^3$  примыкает к  $e_{110}^2, e_{011}^2$  и с четырёх сторон к  $e_{0110}^2$ , клетка  $e_{ii}^3$  примыкает к  $e_{020}^2, e_{110}^2, e_{011}^2$  и с двух сторон к  $e_{0110}^2$ . Клетка  $e^4$  примыкает с двух сторон как к  $e_{ri}^3$ , так и к  $e_{ii}^3$ .

Подпространство  $\bar{X}_{S^2,2} \setminus X_{S^2,2} = e_{020}^2 \cup e_{020}^1 \cup e_{20}^0 \cup e_{02}^0$  является замыканием клетки  $e_{020}^2$  и состоит из классов изоморфности накрытий, область определения которых – особая поверхность – букет двух сфер.

Для сравнения, более экономное клеточное разбиение пространства  $\bar{X}_{S^2,2}$ , построенное в [5], состоит из 0-клетки, двух 2-клеток, 3-клетки и 4-клетки. Графы соответствующих накрытий лежат на сфере или букете двух сфер и являются прообразами  $a$  вертикальных прямых на  $\mathbb{C} \cup \infty$ ,  $a = 0, 1, 2$ , с лежащими на них критическими значениями накрытия.

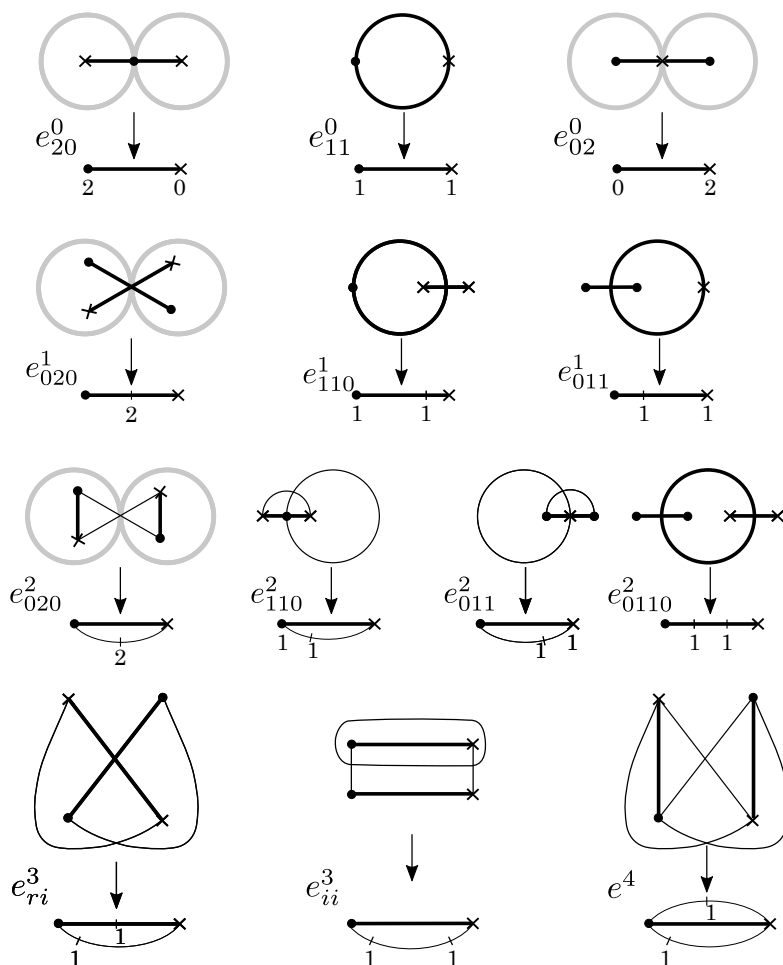


Рис. 4. Клетки пространства  $\bar{X}_{S^2,2}$ .

#### 4.5 Отступление: слабо полиэдральное клеточное пространство

Запись  $F < M$  будет обозначать то, что многогранник  $F$  является гранью многогранника  $M$ .

Пусть  $X$  – оснащённое клеточное пространство, т.е. клеточное пространство вместе с выбранным для каждой (замкнутой) клетки  $E$  характеристическим отображением  $\chi_E : M \rightarrow X$ . Будем считать, что

- (i)  $M$  – компактный выпуклый многогранник размерности  $d = \dim E$ ;
- (ii) для любой собственной грани  $F$  многогранника  $M$  существует многогранник  $F'$  размерности  $\leq \dim F$ , непрерывное сюръективное

отображение  $p_F : F \rightarrow F'$ , характеристическое отображение  $\chi_{E'} : F' \rightarrow X$  клетки  $E'$ , лежащей на границе клетки  $E$ , для которых  $\chi_E|_F = \chi_{E'} \circ p_F$ .

- (iii)  $p_{F_1 \cap F_2} = (p_{F_1} \circ p_{F_2})|_{F_1 \cap F_2} = (p_{F_2} \circ p_{F_1})|_{F_1 \cap F_2}$  для граней  $F_1, F_2 < M$ , так что  $(F_1 \cap F_2)' = F_1' \cap F_2'$ .

В силу перечисленных условий существует непрерывное сюръективное отображение  $p : \partial M \rightarrow M'$  границы многогранника  $M$  на объединение  $M' = \bigcup p_F(F)$  по всем собственным граням многогранника  $M$ .

Пространство  $X$  с указанными выше условиями на его оснащение назовём *слабо полиэдральным клеточным пространством*.

В силу замечания 3 и следствия 4 клеточное пространство  $\bar{H}_w$  является слабо полиэдральным.

#### 4.5.1 Триангуляция клетки

**Предложение 5.** Пусть  $D$  – компактное выпуклое множество в евклидовом пространстве,  $\chi : D \rightarrow E$  – непрерывная сюръекция, являющаяся гомеоморфизмом на внутренности  $\text{Int}D$  множества  $D$ , и  $C = \text{Cyl}\chi|_{\partial D}$  – цилиндр сужения отображения  $\chi$ . Тогда существует гомеоморфизм  $f : D \cup C \rightarrow E$ .

*Доказательство.* Выберем точку  $O \in \text{Int}D$  и рассмотрим гомотетию  $h_t : D = D_1 \rightarrow D_t$  с центром в точке  $O$  и коэффициентом  $t$ . Учитывая отождествление  $(x, 0)$  с  $x$  и  $(x, 1)$  с  $\chi(x) \forall x \in \partial D$  в  $C$ , положим  $f(z) = \chi(h_{1/2}(z))$ ,  $z \in D$  и  $f(z) = \chi(h_{(1+t)/2}(x))$ ,  $z = (x, t) \in C$ . Легко проверить, что  $f$  является искомым гомеоморфизмом.  $\square$

**Следствие 5.** Для построения триангуляции клетки  $E$  достаточно триангулировать пространство  $M \cup \text{Cyl}p|_{\partial M}$ .

Триангуляцию пространства  $M \cup \text{Cyl}p|_{\partial M}$  будем строить отдельно для каждой старшей грани  $F < M$ .

Пусть  $c_M$  – центр многогранника  $M$  и  $c_M * F$  – конус над  $F$ . Заменяя при необходимости многогранник  $F' = p_F(F)$  подобным, можем считать, что объединение  $M_F = (c_M * F) \cup \text{Cyl}p_F$  является выпуклым многогранником. Поэтому  $M_F = c_M * (F' \cup \text{Cyl}p|_{\partial F})$ . Барицентрические подразделения многогранников  $F'$  и  $\partial F$  задают стандартную триангуляцию цилиндра отображения  $\text{Cyl}p|_{\partial F}$  и вместе с ней – триангуляцию пространства  $M_F$ .

Ясно, что на пересечениях старших граней построенные триангуляции совпадают и потому дают триангуляцию пространства  $M \cup \text{Cyl}p|_{\partial M}$ . Кроме того, в силу условия (iii) п. 4.5 триангуляции клеток индуцируют

совпадающие триангуляции на их пересечениях и потому задают триангуляцию пространства  $X$ .

#### 4.5.2 Двойственное разбиение

*Двойственным разбиением* триангулированного пространства  $X$  назовём его разбиение на барицентрические звезды (см. [8, п. 2.2.6.6] или [9, п. 8.3]). Объединение звёзд размерности не выше  $t$  назовём  $t$ -мерным остовом двойственного разбиения.

Следующее замечание следует из того, что линк симплекса гомеоморфен барицентрическому линку этого симплекса (см. [8, п. 2.2.6.7]).

**Замечание 4.** Пусть в  $X$  линки симплексов, имеющих размерность  $\dim X - 2$  линейно связны. Тогда

- Если размерность открытой звезды из двойственного разбиения пространства  $X$  не больше 2, то звезда является клеткой.
- Двумерный остов  $\text{Sk}_2DX$  двойственного разбиения пространства  $X$  является клеточным пространством.

□

**Теорема 4.**  $\pi_1(X) = \pi_1(\text{Sk}_2DX)$ .

*Доказательство.* Поскольку  $X$  триангулируемо, можно считать, что образ гомотопии петель не заполняет всю  $d$ -мерную звезду при  $d > 2$ . Поэтому гомотопию можно стянуть на  $\text{Sk}_2DX$ .

□

#### 4.6 Двойственное разбиение пространства $\bar{H}_w$

**Теорема 5.** В пространстве  $\bar{H}_w$  линки симплексов, имеющих размерность  $\dim_{\mathbb{R}} \bar{H}_w - 2$  линейно связны.

*Доказательство.* Пусть  $s \subset \bar{H}_w$  – симплекс размерности  $\dim_{\mathbb{R}} \bar{H}_w - 2$ .

Для доказательства достаточно любые два симплекса  $s_1, s_2 \subset \bar{H}_w$  размерности  $\dim_{\mathbb{R}} \bar{H}_w$ , примыкающие к  $s$ , соединить цепочкой таких же симплексов, в которой последовательные симплексы пересекаются по граням размерности  $\dim_{\mathbb{R}} \bar{H}_w - 1$ , примыкающим к  $s$ . Таким образом, задача локальна в том смысле, что в малой окрестности точки  $[f]$  из открытой части симплекса  $s$  достаточно найти путь, соединяющий точки  $[f_i] \in s_i, i = 1, 2$ . Ясно, что в качестве накрытий  $f_i$  можно взять возмущения накрытия  $f$ . Ниже мы выберем общую область возмущения

накрытия  $f$ , с помощью которой получаются  $f_1, f_2$ . В силу следствия 1 в сфере – образе накрытия  $f$  – возможны следующие случаи.

- (i) Имеются два мобильных меридиана, содержащих по два простых мобильных значения.
- (ii) Имеются мобильный меридиан, содержащий два простых мобильных значения, и стационарный меридиан, содержащий (одно) простое мобильное значение.
- (iii) Имеются два стационарных меридиана (возможно совпадающих), содержащих по одному простому мобильному значению.
- (iv) Имеется одно двукратное мобильное значение.
- (v) Имеется одно стационарное значение, возмущение которого даёт два стационарных и одно простое мобильное значение.

Во всех случаях выберем непересекающиеся круги на сфере, каждый из которых содержит ровно одно указанное значение. Эти круги определяют область возмущения накрытия  $f$ . В первых четырёх случаях существование пути, соединяющего точки  $[f_i] \in s_i, i = 1, 2$ , следует из предложения 1, а в последнем случае – из предложения 3.  $\square$

Следующий результат сразу получается из теоремы 5, замечания 4 и теоремы 4.

**Следствие 6.** *Двумерный остов двойственного разбиения пространства  $\bar{H}_w$  является клеточным пространством и фундаментальная группа этого остова совпадает с фундаментальной группой пространства  $\bar{H}_w$ .*  $\square$

**Предложение 6.**  *$\bar{H}_w$  является псевдомногообразием, т.е. размерностно однородным, неразветвлённым, сильно связным симплициальным пространством (см. [9, п. 8.1]).*

*Доказательство.* Пусть  $d = \dim \bar{H}_w$ . Размерностная однородность следует из того, что любая клетка размерности  $< d$ , очевидно, лежит на границе  $d$ -мерной клетки. В то время как клетка может лежать на границе единственной клетки, любой  $(d - 1)$ -мерный симплекс является гранью ровно двух  $d$ -мерных симплексов в силу указанного выше построения триангуляции пространства  $\bar{H}_w$ , т.е. это пространство является неразветвлённым. Согласно следствию 6, из связности пространства  $\bar{H}_w$  следует связность одномерного остова двойственного разбиения этого пространства, что и означает его сильную связность.  $\square$

## 5 Тригональные кривые

Пусть  $S_e$  - (комплексная) поверхность Хирцебруха, т.е. рациональная линейчатая поверхность,  $q : S_e \rightarrow \mathbb{C}P^1$  - соответствующее  $\mathbb{C}P^1$ -расслоение с исключительным сечением  $s$ ,  $s^2 = -e < 0$ . Слои расслоения  $q$  называются *вертикальными прямыми*.

При стягивании исключительного сечения в точку поверхность  $S_e$  превращается во взвешенную проективную плоскость  $P(1, 1, e)$  с координатами  $x_0, x_1, y$ , имеющими веса  $1, 1, e$  (см., например, [12, п.1.2.3]). В дальнейшем удобно считать, что эти координаты определены на самой поверхности  $S_e$ . Кривая  $C \subset S_e$ , задаваемая уравнением

$$y^3 + b(x)y + w(x) = 0, \quad (1)$$

где  $x = (x_0, x_1)$ , а  $b$  и  $w$  - однородные многочлены степеней  $2e$  и  $3e$ , называется *тригональной кривой*. При этом мы допускаем случаи  $b = 0$ ,  $w = 0$ , но не  $b = w = 0$ . Многочлены  $b, w$  определяются кривой  $C$  однозначно с точностью до преобразования

$$(b, w) \mapsto (t^2b, t^3w), \quad t \in \mathbb{C}^*, \quad (2)$$

поэтому множество всех тригональных кривых на  $S_e$  есть взвешенное проективное пространство  $T_e = P(2, \dots, 2, 3, \dots, 3) = P(2_{2e+1}, 3_{3e+1})$  комплексной размерности  $5e + 1$ .

Обозначим через  $d = 4b^3 + 27w^2$  дискриминант по  $y$  уравнения (1).

Обобщением тригональной кривой является *трёхчленная кривая* на поверхности  $S_e$ , задаваемая уравнением  $y^n + b(x)y^{n-k} + w(x) = 0$ , где  $1 \leq k < n$ ,  $\text{НОД}(k, n) = 1$ , а  $b$  и  $w$  - однородные многочлены степеней  $ke$  и  $ne$ . Пусть  $d(x) = n^n w^k - (-1)^n (n-k)^{n-k} k^k b^n$  при  $n > k$  и  $d(x) = w + b$  при  $n = k = 1$ . Дискриминант по  $y$  уравнения (1) равен  $w^{n-k-1}d(x)$  (см., напр., [10, Гл.1, п.3.3]). Все результаты, полученные ниже для тригональных кривых, переносятся, с точностью до обозначений, на трёхчленные кривые.

Следующие леммы доказываются стандартным вычислением.

**Лемма 1.** *Точка  $(x, y) \in C$  является особой тогда и только тогда, когда либо  $2y^3 = w(x) \neq 0$  и  $x$  - кратный корень многочлена  $d$ , не являющийся корнем многочленов  $b, w$ , либо  $y = 0$ ,  $x$  - корень многочлена  $b$  и кратный корень многочлена  $w$ .  $\square$*

**Лемма 2.** *Пусть  $x$  - общий корень многочленов  $b, w$ . Точка  $(x, y) \in C$  неособа тогда и только тогда, когда  $x$  - простой корень многочлена  $w$ . При этом  $(x, y)$  является точкой трёхкратного пересечения с вертикальным слоем, называемой точкой вертикального перегиба.  $\square$*

Следуя [11, 3.3.1], назовём неособую тригональную кривую  $C \subset S_e$  *общей*, если  $b, w$  не имеют общих корней и все корни этих многочленов простые, и *почти общей*, если выполнено только первое из этих двух условий.

### 5.1 $j$ -инвариант тригональной кривой.

Функция  $j_C : \mathbb{CP}^1 \rightarrow \mathbb{CP}^1$ ,  $j_C = \frac{4b^3}{d} = 1 - \frac{27w^2}{d}$ , называется  $j$ -инвариантом кривой  $C$ .

Если  $b, w$  не имеют общих корней, то степень отображения  $j_C$  равна  $6e$ . В общем случае эта степень  $s = 6e - \deg \text{НОД}(b^3, w^2)$  задаёт стратификацию  $\{T_{e,s}\}$  пространства  $T_e$ . Неособые кривые старшего страта  $T_{e,6e}$  образуют множество всех почти общих кривых.

**Предложение 7.** *Множество  $T_{e,6e}$  связно.*

*Доказательство.* Множество  $T_{e,6e}$  задаётся в связном пространстве  $T_e$  неравенством нулю результата многочленов  $b, w$  и потому связно.  $\square$

### 5.2 Кривые с постоянным $j$ -инвариантом.

Следуя [4, п. 3.1.1], назовём кривые  $C \in T_{e,0}$ , т.е. кривые с постоянным  $j$ -инвариантом, *изотривиальными*, а с непостоянным – *неизотривиальными*.

**Замечание 5.** *Согласно [7], пространство  $T_e = \mathbb{P}(2_{2e+1}, 3_{3e+1})$  имеет особенности в точках, у которых либо  $2e + 1$  первых, либо  $3e + 1$  последних координат равны 0, т.е. в точках, отвечающих тригональным кривым с  $b = 0$  или  $w = 0$ . Поэтому пространство  $T_e \setminus T_{e,0}$  неизотривиальных кривых является неособым многообразием.*

Следующее утверждение очевидно.

**Предложение 8.** *Множество  $T_{e,0}$  является объединением подпространств  $b = 0, w = 0$  и подмногообразия, состоящего из кривых с  $b = \lambda a^2, w = \mu a^3$ , где  $\lambda, \mu \in \mathbb{C}$  и  $a$  – многочлен степени  $e$ .*  $\square$

### 5.3 Данные Римана тригональной кривой

Для неизотривиальной тригональной кривой  $C$  в осезде  $\Theta(j_C)$  добавим к его стационарным вершинам  $0$  ( $\bullet$ -вершина) и  $\infty$  ( $\times$ -вершина) точку  $1$  и назовём её  $o$ -*вершиной*. Обозначим через  $[0, \infty]_C$  подграф графа  $\Theta(j_C)$ , состоящий из нулевого меридиана и лежащих на нём вершин,

включая полюсы. *Графом*  $\Gamma(C)$  *тригональной кривой*  $C$  назовём граф  $\Gamma(j_C) \cup j_C^{-1}([0, \infty]_C)$ . При этом все корни многочлена  $w$  называются *o-вершинами* и добавляются к стационарным вершинам объединения, а возможные на 0-й монохромной части мобильные вершины степени 2 удаляются. Таким образом,  $\Gamma(C)$  – 0-in-граф и осограф.

Напомним, что по определению (см. п. 2.2) индекс точки  $v$  на сфере – области определения  $j$ -инварианта – равен  $\deg_v j_C$ . Поэтому индекс мобильной и o-вершины графа  $\Gamma(C)$  равен половине её валентности, стационарной – её валентности, делённой на  $a_{j_C}$ .

Из определения  $j$ -инварианта следует, что для  $C \in T_{e,6e}$  индексы  $\bullet$ -вершин  $\equiv 0 \pmod 3$  и o-вершин  $\equiv 0 \pmod 2$ .

Пусть  $\text{cr}(C)$  – мультимножество, состоящее из всех критических значений функции  $j_C$ , взятых с их кратностями, (т.е. функция, задаваемая условием  $t \mapsto \sum_{x \in f^{-1}(t)} (\text{ind} x - 1)$ , где  $t$  – критическое значение функции  $j_C$ , а  $\text{ind}$  – индекс точки  $x$ ). Пару  $(\Gamma(C), \text{cr}(C))$  назовём *данными Римана* кривой  $C$  (ср. [2, п. 1.8]).

Пусть  $\Gamma$  –  $a$ -0-in-граф и  $f : \Gamma \rightarrow \Theta$  – морфизм на 0-in-осоэдр. Одну из внутренних точек нулевого меридиана назовём o-вершиной. Добавим её к стационарным вершинам осоэдра  $\Theta$  и назовём все её прообразы в  $\Gamma$  стационарными o-вершинами. Граф  $\Gamma$  назовём *o-графом* (точнее, *a-o-графом*). Ясно, что граф тригональной кривой является o-графом. Назовём  $\bullet$ -вершину (соответственно, o-вершину) o-графа *исключительной* (ср. [4, 3.1.2]), если её индекс  $\not\equiv 0 \pmod 3$  (соответственно,  $\not\equiv 0 \pmod 2$ ).

Мультимножество  $\text{cr}$  точек сферы и o-граф  $\Gamma$  назовём *согласованными*, если существует морфизм  $f : \Gamma \rightarrow \Theta$ , где  $\Theta$  – осоэдр, определяемый мультимножеством  $\text{cr}$ , причём кратность каждой точки  $t \in \text{cr}$  равна  $\sum_{x \in f^{-1}(t)} (\text{ind} x - 1)$ .

Следующая конструкция восстанавливает неизотривиальную тригональную кривую по её данным Римана. Пусть задано натуральное число  $e$ ,  $a$ -o-граф  $\Gamma$  с  $(a + 1)s$  гранями, где  $s \leq 6e$ , и согласованное с  $\Gamma$  мультимножество  $\text{cr}$  точек сферы. Поскольку  $\Gamma$  – осограф, по теоремам 1, [1, теорема 3] существует рациональная функция  $j = b_1/d_1 = 1 - w_1/d_1$  степени  $s$  с  $\text{НОД}(b_1, w_1) = 1$ , с  $\Gamma(j) = \Gamma$  и с мультимножеством критических точек  $\text{cr}$ . Поскольку  $j$  не постоянна, согласно [4, теорема 3.20, замечание 3.21] существует многочлен  $g$ , все корни которого с их кратностями – это исключительные вершины графа  $\Gamma$ , и существуют многочлены  $b, w$  с  $b_1 g = 4b^3$ ,  $w_1 g = 27w^2$ ,  $\deg b = 2e$ ,  $\deg w = 3e$ . Они задают неизотривиальную тригональную кривую  $C \in T_{e,s}$ , для которой  $j = j_C$ ,  $g = \text{НОД}(b^3, w^2)$  и  $\Gamma = \Gamma(C)$ .

Кривая  $C$  единственна с точностью до действия группы  $G = PGL(2, \mathbb{C})$ ,

а многочлены  $b, w$  определены однозначно с точностью до преобразования (2). Поэтому множество данных Римана тригональных кривых можно отождествить с фактор-пространством  $RD_e = (T_e \setminus T_{e,0})/G$ . Ясно, что его комплексная размерность равна  $5e - 2$ . Обозначим через  $rd : T_e \setminus T_{e,0} \rightarrow RD_e$  сужение на  $T_e \setminus T_{e,0}$  проекции  $pr : T_e \rightarrow T_e/G$ .

Следующий пример показывает, что пространство данных Римана не хаусдорфово. Возьмём данные Римана с графом, указанным на рис. 6.a (на этом и следующих рисунках считается, что граф  $\Theta(j)$  раскрашен как на рис. 5), и устремим  $j(x_2)$  к  $j(x_1) = 0$ . В пределе получим данные

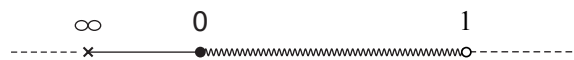


Рис. 5.

Римана как с графом 6.b, так и с графом 6.c. Действительно, если для тригональной кривой  $C$  на рис. 6.a считать, что  $\bullet$ -вершина  $x_1$  равна 0,  $\circ$ -вершина внутри кривой  $S_1$  равна  $t^2$ , а вторая  $\bullet$ -вершина находится на  $\infty$ , то в аффинных координатах  $j_C(x) = \frac{4x^3}{4x^3 + 27w_0(x-t^2)^2(x-\lambda)^2(x-\mu)^2}$ . С другой стороны,  $j$ -инвариант кривой  $C_t$ , полученной из  $C$  дробно-линейным преобразованием  $x \mapsto t^2x/((1-t)x+t)$  и потому лежащей вместе с  $C$  в одной орбите группы  $PGL(2, \mathbb{C})$ , равен  $\frac{4x^3(x-tx+t)^3}{4x^3(x-tx+t)^3 + 27w_0(x-1)^2(\lambda x + o(t))^2(\mu x + o(t))^2}$ . Поэтому при  $t \rightarrow 0$  эта орбита приближается к кривым с графами 6.b и 6.c.

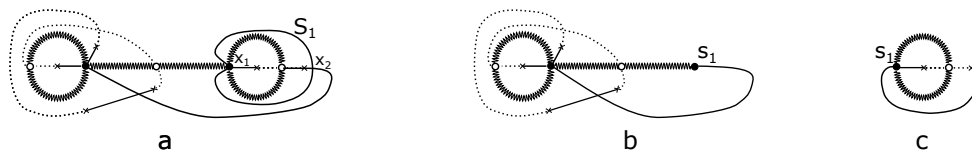


Рис. 6.

## 5.4 Компактификация старшего страта пространства данных Римана тригональных кривых

Назовём поверхность, являющуюся вырождением сферы, *поверхностью рода 0*. Свяжем с такой поверхностью граф, вершинами которого являются особые точки поверхности ( $s$ -вершины) и её компоненты ( $c$ -вершины), а рёбра соединяют компоненты с лежащими на ней особыми

точками. Для особой поверхности этот граф является двудольным. Назовём его *cs-графом поверхности рода 0*.

Обозначим через  $F_n$  пространство комплексных рациональных функций  $f : \mathbb{CP}^1 \rightarrow \mathbb{CP}^1$  степени  $n$  и через  $\mathcal{X}_n$  – фактор-пространство  $F_n/PGL(2, \mathbb{C})$ . Пусть  $J_e$  – множество классов изоморфности  $j$ -инвариантов кривых из  $T_{e,6e}$ . В силу сказанного в п. 5.3 и [1, теорема 3], оно гомеоморфно  $rd(T_{e,6e})$  и  $J_e \subset \mathcal{X}_{6e}$ . Замыкание  $\bar{J}_e \subset \bar{\mathcal{X}}_{6e}$  этого множества состоит из классов  $[j]$ , где  $j$  – разветвлённое накрытие степени  $6e$ , в графе  $\Gamma(j)$  которого число  $\bullet$ -вершин  $\leq 2e$ , а число  $\circ$ -вершин  $\leq 3e$ . Поэтому  $\bar{J}_e$  – *клеточное подпространство пространства  $\bar{\mathcal{X}}_{6e}$*  в силу следствия 4, поскольку  $\bar{J}_e = \bar{H}_w$ , где  $w=(\bullet, \circ)$ .

Определим теперь кривую  $C$ , составленную из тригональных кривых, базой которой является особая рациональная кривая. Пусть эта рациональная кривая распадается на неприводимые компоненты  $L_1, \dots, L_m$ . Для  $i = 1, \dots, m$  рассмотрим поверхности Хирцебруха  $S_{e_i}$  с базой  $L_i$  и тригональные кривые  $C_i \subset S_{e_i}$ , удовлетворяющие следующим условиям: 1) над общей точкой компонент  $L_i, L_l$  имеется общий слой поверхностей  $S_{e_i}, S_{e_l}$ , который пересекает каждую из кривых  $C_i, C_l$  в их общей трёхкратной особой точке  $(x_{il}, 0)$ ; 2)  $j$ -инварианты кривых  $C_i, C_l$  совпадают в точке  $x_{il}$ . Легко проверить, что при этих условиях точка  $x_{il}$  является общим корнем многочленов  $\text{НОД}(b_i^3, w_i^2), \text{НОД}(b_l^3, w_l^2)$ , где  $b_i, w_i$  и  $b_l, w_l$  – многочлены, задающие кривые  $C_i$  и  $C_l$ . Назовём кривую  $C = \bigcup_{i=1}^m C_i$  *составной (точнее,  $m$ -составной) тригональной кривой* с базой  $L = \bigcup_{i=1}^m L_i$ . Тригональная кривая с неособой базой является 1-составной тригональной кривой.

Склеивание  $j$ -инвариантов кривых  $C_i$  даёт  $j$ -инвариант  $j_C : L \rightarrow \mathbb{CP}^1$  кривой  $C$ . Поэтому определены данные Римана составной тригональной кривой. *Степень составной тригональной кривой* называется степень отображения  $j_C$ . Возмущением/вырождением тригональной кривой называется возмущение/вырождение её  $j$ -инварианта.

Пусть  $\bar{T}_{e,6e}$  – множество составных тригональных кривых степени  $6e$ . В силу вышесказанного,  $rd(\bar{T}_{e,6e})$  является компактификацией пространства  $rd(T_{e,6e})$ . Мы отождествляем  $J_e$  с  $rd(T_{e,6e})$  и  $\bar{J}_e$  с  $rd(\bar{T}_{e,6e})$ .

Согласно леммам 1, 2, точки вертикального перегиба тригональной кривой являются неособыми, но кривая с такими точками не лежит в  $T_{e,6e}$ . Если остальные точки кривой неособы, она является компонентой составной тригональной кривой  $C \in \bar{T}_{e,6e} \setminus T_{e,6e}$ , для которой *cs-граф* её базы  $L$  является звёздным с *простейшими концами*, т.е. его концевые вершины отвечают компонентам кривой  $L$ , на которых  $j_C$  имеет степень 4 (см. рис. 7 графа тригональной кривой, вырождением которой является одна из таких составных тригональных кривых). Все кривые в  $\bar{T}_{e,6e} \setminus T_{e,6e}$ ,

$cs$ -граф которых отличен от описанного, назовём *особыми составными тригональными кривыми* и добавим их к особым кривым страта  $T_{e,6e}$ , получив множество  $ST_e$  особых кривых пространства  $\bar{T}_{e,6e}$ .

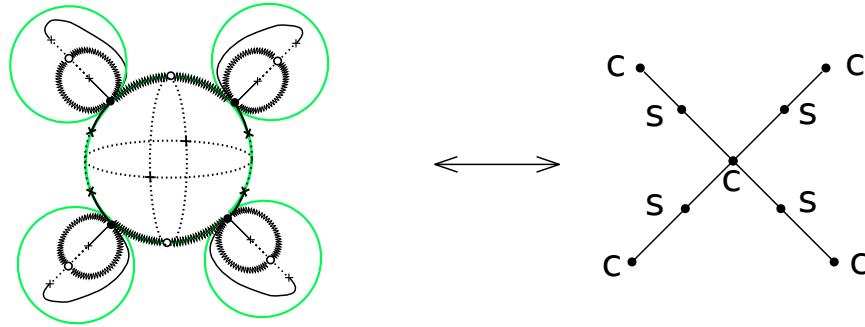


Рис. 7.

**Предложение 9.** Множество  $rd(ST_e)$  является клеточным подпространством пространства  $rd(\bar{T}_{e,6e})$ .

*Доказательство.* Кривая  $C \in \bar{T}_{e,6e}$  является особой, если её граф имеет кратные корни дискриминанта  $d$  или её  $cs$ -граф не является звёздным с простейшими концами. Граничные точки открытой клетки в  $rd(ST_e)$ , состоящей из классов особых кривых, отвечают вырождениям этих кривых. Такое вырождение не устраняет кратные корни дискриминанта и не превращает  $cs$ -граф кривой в звёздный граф с простейшими концами, поэтому граница клетки также лежит в  $rd(ST_e)$ .  $\square$

## 5.5 Двойственное разбиение пространства данных Римана

**Теорема 6.** Линк 2-мерной звезды из двойственного разбиения пространства  $rd(\bar{T}_{e,6e})$  линейно связан.

*Доказательство.* В теореме 5 в качестве  $\bar{H}_w$  можно взять  $rd(\bar{T}_{e,6e})$   $\square$

**Следствие 7.** Двумерный остов двойственного разбиения фактор-пространства почти общих кривых (соответственно, неособых кривых) является клеточным пространством и фундаментальная группа этого остова совпадает с фундаментальной группой соответствующего фактор-пространства.

*Доказательство.* Все операции, описанные в доказательстве теоремы 5, с помощью которых точка  $[f_1]$  соединяется с  $[f_2]$  на границе звезды, сохраняют свойство кривой быть почти общей (соответственно, неособой). Поэтому следствие 7 получается из теоремы 6 так же, как следствие 6 получается из теоремы 5, замечания 4 и теоремы 4.  $\square$

Авторы выражают благодарность рецензенту за советы и замечания, позволившие устранить недочеты, имевшиеся в первоначальном варианте статьи.

## Список литературы

- [1] Звонилов В.И., Оревков С.Ю., *Компактификация пространства разветвлённых накрытий двумерной сферы*, Комплексный анализ и его приложения, Сборник статей. К 100-летию со дня рождения Бориса Владимировича Шабата, 85-летию со дня рождения Анатолия Георгиевича Витушкина и 85-летию со дня рождения Андрея Александровича Гончара, Тр. МИАН, **298**, МАИК «Наука/Интерпериодика», М., 2017, 127–138; Proc. Steklov Inst. Math., 298 (2017), 118–128.
- [2] Звонкин А.К., Ландо С.К., *Графы на поверхностях и их приложения*, МЦНМО, М., 2010.
- [3] Orevkov S. Yu., *Riemann existence theorem and construction of real algebraic curves*, Annales de la Faculté des Sciences de Toulouse **12** (2003), N. 4, 517–531.
- [4] Degtyarev A., *Topology of algebraic curves. An approach via dessins d'enfants*, De Gruyter Studies in Mathematics, **44**, Walter de Gruyter & Co., Berlin, 2012.
- [5] Diaz S., Edidin D., *Towards the homology of Hurwitz spaces*, J. Differential Geom. **43** (1996), N. 1, 66–98.
- [6] Natanzon S., Turaev V., *A compactification of the Hurwitz space*, Topology **38** (1999), N. 4, 889–914.
- [7] Dimca A., Dimiev S., *On analytic coverings of weighted projective spaces*, Bull. London Math. Soc. **17** (1985), 234–238.
- [8] Рохлин В.А., Фукс Д.Б., *Начальный курс топологии*, Наука, М., 1977.

- [9] Виро О.Я., Фукс Д.Б., *Гомологии и когомологии*, Итоги науки и техн. ВИНТИ. Совр. пробл. матем. Фундам. направл. **24** (1988), 123–240.
- [10] Прасолов В.В. *Многочлены*, МЦНМО, М., 1999.
- [11] Degtyarev A., Itenberg I., Kharlamov V., *On deformation types of real elliptic surfaces*, Amer.J.Math. **130** (2008), N.6, 1561–1627.
- [12] Dolgachev I., *Weighted projective varieties*, Lecture Notes in Math., 1982, vol.956, Springer-Verlag, p.34-71.